

法政大学 正会員 山門 明雄

〃 〃 牟田 親弘

東京都特別区 〃 ○矢野伸二郎

1. まえがき

著者の一人が斜面安定解析のプログラム SLOPE のデバック中に Taylor の計算図表を用いて演算を実行したところ、土の内部摩擦角 $\phi = 0^\circ$ の場合、分割法による安全率と Taylor による安全率はほぼ一致するが、 $\phi \neq 0^\circ$ の場合は差がみられた。

簡便分割法は通常の設計基準に用いられており、そのすべり面の安全率 F_s は、中心 0 なる円弧すべり面を仮定し、次式のように表わされる。

$$F_s = \frac{0\text{点まわりの抵抗モーメントの和 } M_r}{0\text{点まわりの滑動モーメントの和 } M_f} \quad (1)$$

本研究は(1)式を使用したものが、どのような傾向になるかを検討したものである。

2. 計算方法

計算に使用した断面は、Taylor が仮定した理想状態の単純断面とし、簡便分割法を採用した。斜面傾斜角 $\beta = 20^\circ, 30^\circ, 40^\circ, 50^\circ, 60^\circ, 70^\circ, 80^\circ, 90^\circ$ 、土の内部摩擦角 $\phi = 0^\circ, 5^\circ, 10^\circ, 15^\circ, 20^\circ, 25^\circ$ 、土の粘着力を $C (\text{t/m}^2)$ 、単位体積重量を $\gamma (\text{t/m}^3)$ としたときの C/γ を 0.3 m から 4.0 m 、斜面高さ H は 5 m を中心に $2.5 \text{ m}, 7.5 \text{ m}, 10 \text{ m}$ 、深さ係数 $N_d = 1.0, 1.2, 1.5, 2.0$ とするインプットデーターとした。

すべり面の安全率の算出にあたっては、通常斜面安定解析に使用されている(1)式を用いた。またその斜面の最少安全率の算出にあたっては、シンプレックス法を使用した。シンプレックス法については専門書にまかせることにするが、ローカルミニマムに収束しないように、初期値としてすべり円の中心点のゾーンを四つのブロックに分け、そのブロックごとに安全率をシンプレックス法で計算し、それぞれ収束した四つの点から再度シンプレックス法で精度をあげてその斜面の最少安全率を求め、グローバルミニマムを算出した。

3. 演算結果と考察

一例ではあるが、 $\phi = 0^\circ, \beta = 60^\circ, H = 2.5 \text{ m}, 5 \text{ m}, 7.5 \text{ m}, 10 \text{ m}, N_d = 1.2$ の場合、横軸に $C/\gamma(\text{m})$ 、縦軸にシンプレックス法で求めた安全率 F_s をプロットすれば図-1 のように直線関係になるようである。また限界高さ $H_c(\text{m})$ を $H_c = F_s \cdot H$ として、横軸に $C/\gamma(\text{m})$ 、縦軸に $H_c(\text{m})$ をプロットすれば図-2 のようになる。 $\phi = 5^\circ, \beta = 60^\circ, H = 2.5 \text{ m}, 5 \text{ m}, 7.5 \text{ m}, 10 \text{ m}, N_d = 1.2$ の場合、同様にプロットすれば図-3、図-4 のようになる。

内部摩擦角 $\phi = 0^\circ$ の場合、斜面高さ H が変化しても 0 点を通る直線で近似できるが、 $\phi = 0^\circ$ の場合は、切片がある直線となる。

図-1 および図-3 から安全率 F_s は、一次方程式として(2)式のように表わせる。

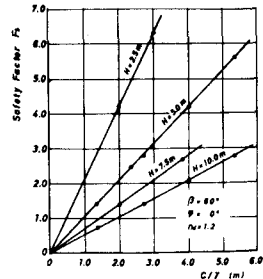


図-1

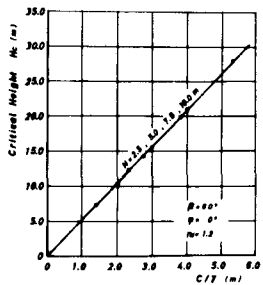


図-2

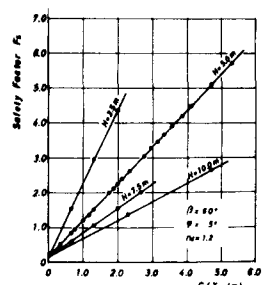


図-3

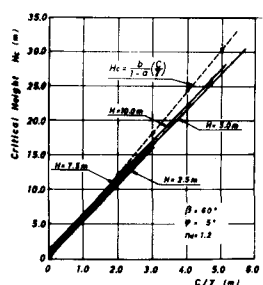


図-4

$$F_s = a' + b' \left(\frac{C}{r} \right) \quad (2)$$

(2)式で表示した a' は , $\phi = 0^\circ$, β および N_d が一定の場合 , 斜面高さ H が変化しても $a' \neq 0$ となる傾向があり , $\phi \neq 0^\circ$, β および N_d が一定のとき H が変化しても a' は一定値 ($a' > 0$) となるようである。また b' は , いずれの場合にも H が大きくなるに従って小さくなる傾向がある。

$\phi = 0^\circ$, $\beta = 60^\circ$ および $N_d = 1.2$ のとき , 図 - 2 の C/r

と H_c の関係をみると , その直線は 0 を通り , H が変化しても一致している。また $\phi = 5^\circ$ のときを表わした図 - 4 の直線は , その勾配はほとんど同じであるが , 切片は H が大きくなるに従って大きくなる傾向がある。これらのことから F_s および H_c は一般に次式で表わせる。

$$F_s = a + \frac{b}{H} \left(\frac{C}{r} \right) \quad (3)$$

$$H_c = aH + b \left(\frac{C}{r} \right) \quad (4)$$

Taylor の計算图表は $F_s = 1$ の場合であるので , (3) 式か (4) 式の H の中へ H_c を代入し , 限界高さ H_c (m) を求めてみると次式のようになる。

$$H_c = \frac{b}{1-a} \left(\frac{C}{r} \right) \quad (5)$$

$\phi = 0^\circ$ の場合は $a \neq 0$ であるので , (4) 式と (5) 式は一致するが , $\phi \neq 0^\circ$ の場合は式からも明らかのように , $a \neq 0$ であるので違いがみられる。(5) 式で求めた係数 $b/(1-a)$ は Terzaghi の安定係数 N_s に相当するものである。この係数を表わしたもののが表 - 1 である。なお $\phi = 5^\circ$, $\beta = 60^\circ$, $N_d = 1.2$ の場合 , (5) 式の限界高さ H_c と C/r の関係は , 図 - 4 の点線で示してある。

(3) 式が通常の設計基準に用いられている最少安全率を表わしたものであり , 各インプットデーターに対し計算した a , b をそれぞれ表 - 2 に示した。

またすべり円の中心点は , $\phi = 0^\circ$, β および N_d が一定のとき , C/r が変化しても一定点になるが , $\phi \neq 0^\circ$ β および N_d が一定のときは , C/r が変わると曲線的に移動する傾向がみられた。

4. むすび

表 - 2 を使用すれば , 通常の設計基準に用いられている簡便分割法の最少安全率を求めることができる。

謝 辞 本研究を行うにあたって御助言いたゞいた本学教授大地羊三先生に深謝の意を表します。

β	n_d	ψ					
		0	5	10	15	20	25
20	1.0	9.565	13.917	25.389	12.883	-----	-----
	1.2	9.397	11.580	22.515	12.883	-----	-----
	1.5	8.852	10.500	23.124	22.432	13.244	-----
	2.0	8.107	9.820	22.884	22.922	14.620	-----
30	1.0	9.473	12.286	23.533	13.244	-----	-----
	1.2	9.323	11.500	22.834	13.244	-----	-----
	1.5	8.753	10.500	23.124	22.432	13.123	-----
	2.0	8.065	9.490	22.815	22.829	14.620	-----
40	1.0	9.483	12.293	23.537	13.244	14.571	24.554
	1.2	9.333	11.500	22.834	13.244	14.032	23.449
	1.5	8.763	10.500	23.124	22.432	13.123	23.264
	2.0	8.073	9.505	22.816	22.828	14.620	23.055
50	1.0	9.574	13.894	23.890	13.000	14.261	21.764
	1.2	9.470	12.000	23.494	13.000	14.081	21.055
	1.5	8.848	10.000	23.198	13.000	14.424	22.055
	2.0	8.168	9.000	22.890	13.000	14.742	21.485
60	1.0	9.658	13.771	23.823	13.000	14.296	21.764
	1.2	9.558	12.000	23.427	13.000	14.119	21.055
	1.5	8.928	10.000	23.130	13.000	14.457	22.055
	2.0	8.248	9.000	22.822	13.000	14.797	21.485
80	1.0	9.852	14.835	23.937	13.000	14.607	21.764
	1.2	9.752	12.000	23.540	13.000	14.433	21.055
90	1.0	9.832	14.206	23.824	5.083	5.568	5.230
	1.2	9.732	12.000	23.430	5.083	5.497	5.164

表 - 1

β	ψ	n_d	a		b		β	ψ	n_d	a		b		
			1.0	2.0	1.0	2.0				1.0	2.0	1.0	2.0	1.0
20	0	1.0	0.0	9.565	5	1.0	0.311	9.588	5	1.2	0.210	7.095	5	
		1.2	0.0	9.371	5	1.2	0.347	6.861	5	1.5	0.299	6.240	5	
		1.5	0.0	6.834	5	1.5	0.347	6.861	5	2.0	0.224	5.578	5	
		2.0	0.0	6.168	5	2.0	0.224	5.578	5	1.2	0.247	6.542	5	
30	0	1.0	0.0	9.554	5	1.0	0.224	7.107	5	1.2	0.278	6.157	5	
		1.2	0.0	6.512	5	1.2	0.278	6.157	5	1.5	0.229	5.984	5	
		1.5	0.0	6.107	5	1.5	0.229	5.984	5	2.0	0.200	5.488	5	
		2.0	0.0	5.805	5	2.0	0.200	5.488	5	1.2	0.200	5.087	5	
40	0	1.0	0.0	9.670	5	1.0	0.200	5.156	5	1.2	0.215	5.953	5	
		1.2	0.0	9.483	5	1.2	0.215	5.953	5	1.5	0.221	5.825	5	
		1.5	0.0	8.834	5	1.5	0.221	5.825	5	2.0	0.156	5.781	5	
		2.0	0.0	8.524	5	2.0	0.156	5.781	5	1.2	0.162	5.704	5	
50	0	1.0	0.0	9.574	5	1.0	0.162	5.704	5	1.2	0.140	5.267	5	
		1.2	0.0	6.700	5	1.2	0.140	5.267	5	1.5	0.120	5.815	5	
		1.5	0.0	6.170	5	1.5	0.120	5.815	5	2.0	0.103	5.339	5	
		2.0	0.0	5.895	5	2.0	0.103	5.339	5	1.2	0.103	5.086	5	
60	0	1.0	0.0	9.768	5	1.0	0.076	5.215	5	1.2	0.092	5.084	5	
		1.2	0.0	9.571	5	1.2	0.092	5.084	5	1.5	0.077	5.034	5	
		1.5	0.0	9.251	5	1.5	0.077	5.034	5	2.0	0.075	5.024	5	
		2.0	0.0	8.931	5	2.0	0.075	5.024	5	1.2	0.075	5.024	5	
70	0	1.0	0.0	9.808	5	1.0	0.076	5.215	5	1.2	0.076	5.084	5	
		1.2	0.0	9.611	5	1.2	0.076	5.084	5	1.5	0.071	5.091	5	
		1.5	0.0	9.281	5	1.5	0.071	5.091	5	2.0	0.069	5.084	5	
		2.0	0.0	8.958	5	2.0	0.069	5.084	5	1.2	0.069	5.084	5	
80	0	1.0	0.0	9.852	5	1.0	0.076	5.215	5	1.2	0.076	5.084	5	
		1.2	0.0	9.662	5	1.2	0.076	5.084	5	1.5	0.071	5.091	5	
		1.5	0.0	9.332	5	1.5	0.071	5.091	5	2.0	0.069	5.084	5	
		2.0	0.0	8.991	5	2.0	0.069	5.084	5	1.2	0.069	5.084	5	
90	0	1.0	0.0	9.832	5	1.0	0.076	5.215	5	1.2	0.076	5.084	5	
		1.2	0.0	9.642	5	1.2	0.076	5.084	5	1.5	0.071	5.091	5	
		1.5	0.0	9.312	5	1.5	0.071	5.091	5	2.0	0.069	5.084	5	
		2.0	0.0	8.981	5	2.0	0.069	5.084	5	1.2	0.069	5.084	5	
20	10	1.0	0	6.622	9.609	25	1.0	0.926	9.649	25	1.2	0.925	9.050	25
		1.2	0	6.619	8.016	25	1.2	0.925	9.050	25	1.5	1.033	6.930	25
		1.5	0	6.694	6.883	25	1.5	1.033	6.930	25	2.0	1.107	5.533	25
		2.0	0	6.782	5.342	25	2.0	1.107	5.533	25	1.2	0.926	5.623	25
30	10	1.0	0	6.447	7.599	25	1.0	1.160	7.641	25	1.2	0.720	6.623	25
		1.2	0	6.491	6.608	25	1.2	0.720	6.623	25	1.5	0.771	6.340	25
		1.5	0	5.545	6.212	25	1.5	0.771	6.340	25	2.0	0.775	6.224	25
		2.0	0	5.662	6.140	25	2.0	0.775	6.224	25	1.0	0.557	6.506	25
40	10	1.0	0	6.260	6.510	25	1.0	0.557	6.506	25	1.2	0.556	6.227	25
		1.2	0	6.388	6.144	25	1.2	0.556	6.227	25	1.5	0.504	6.215	25
		1.5	0	5.394	6.076	25	1.5	0.504	6.215	25	2.0	0.559	5.847	25
		2.0	0	4.053	6.076	25	2.0	0.559	5.847	25	1.2	0.448	5.791	25
50	10	1.0	0	3.082	5.803	25	1.0	0.448	5.847	25	1.2	0.448	5.251	25
		1.2	0	3.182	5.234	25	1.2	0.448	5.251	25	1.5	0.448	5.251	25
		1.5	0	3.182	5.234	25	1.5	0.448	5.251	25	2.0	0.285	4.888	25
		2.0	0	2.688	5.302	25	2.0	0.285	4.888	25	1.0	0.328	4.888	25
60	10	1.0	0	2.228	4.849	25	1.0	0.328	4.849	25	1.2	0.270	4.405	25
		1.2	0	2.228	4.849	25	1.2	0.270	4.405	25	1.5	0.232	3.904	25
		1.5	0	1.959	4.366	25	1.5	0.232	3.904	25	2.0	0.272	3.961	25
		2.0	0	1.663	3.869	25	2.0	0.272	3.961	25	1.2	0.232	3.929	25
70	10	1.0	0	2.228	4.849	25	1.0	0.328	4.849	25	1.2	0.270	4.405	25
		1.2	0	2.228	4.849	25	1.2	0.270	4.405	25	1.5	0.232	3.904	25
		1.5	0	1.959	4.366	25	1.5	0.232	3.904	25	2.0	0.272	3.961	25
		2.0	0	1.663	3.869	25	2.0	0.272	3.961	25	1.2	0.232	3.929	25
80	10	1.0	0	2.228	4.849	25	1.0	0.328	4.849	25	1.2	0.270	4.405	25
		1.2	0	2.228	4.849	25	1.2	0.270	4.405	25	1.5	0.232		